

岩手大学 学生員 冷水康悦
正員 塙 茂樹

1はじめに

流れの存在する場での波浪の変形特性を解明することは、河口閉塞などの問題を考える上で重要である。この種の波浪変形に関しては、浅水変形特性と碎波指標は解明されつつあるが、碎波後の波高変化は未解明の問題である。そこで、本研究では碎波後の波高変化に及ぼす逆流の影響を実験的に明らかにする。又、Battjesのモデルを基に逆流の影響を考慮した変形計算モデルを作り、実験値との比較によりモデルの適用性を検討する。

2 実験装置と実験方法

実験装置の概略を図-1に示す。波高・波速は6本の抵抗線式波高計を用い50cm間隔で測定した。なお碎波点近傍では特に25cm間隔で測定した。実験に用いた水底勾配S、単位幅流量q、波の周期T、換算冲波波高H0及び碎波時の波高水深比Hb/hbは表-1のとおりである。

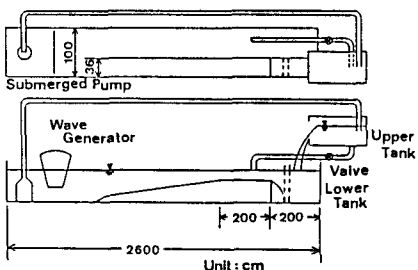


図-1 実験装置

3 変形計算モデル

Battjes¹⁾は、spilling型碎波をしながら進行している波のエネルギー平衡式に於て、エネルギーfluxを長波近似し、またエネルギー逸散率を段波による逸散率に等しいとして、以下のような碎波後の波高変化計算式を提案している。

$$\tilde{H}^{-4} = \left(1 - \frac{4}{9}k\right) \cdot \tilde{h} + \frac{4}{9}k \cdot \tilde{h}^{-7/2} \quad \dots \dots \dots (1)$$

$$k = \left(\frac{2}{\pi}\right)^{1/2} \cdot B \cdot \gamma \cdot \frac{(h_b/L_o)^{1/2}}{S} \quad \dots \dots \dots (2)$$

ここで $\tilde{H}=H/H_b$, $\tilde{h}=h/h_b$, $B:0(1)$ の係数, $\gamma=H_b/h_b$,

上記のエネルギー平衡式に逆流流速u (q/h) を考慮したエネルギーflux及びエネルギー逸散率を代入すると、逆流の効果を考慮した計算式が以下のように求められる。

$$\tilde{H}^{-4} = \frac{1}{(1-A)^2} \cdot \left(1 - \frac{4K}{9(1-A)}\right) \cdot \frac{(\tilde{h}^{3/2}-A)^2}{\tilde{h}^2} + \frac{4K}{9\tilde{h}^2(\tilde{h}^{3/2}-A)} \quad \dots \dots \dots (3)$$

$$A = q/h_b / \sqrt{g \cdot h_b} \quad \dots \dots \dots (4)$$

上式では H/H_b と h/h_b の関係はパラメーターKとAにより決定される。Battjesの計算モデルにおいてパラメーターはKだけであるが、逆流の影響を考慮に入れた本モデルにおいては、Kの他に碎波点における流速と波速の比であるAというパラメーターを持つ所に特徴がある。

S	1/50
q (cm ³ /s/cm)	99.86 ~ 648.86
T (s)	1.19 ~ 2.76
H0 (cm)	5.74 ~ 22.40
Hb/hb	0.503 ~ 0.876

表-1 実験条件

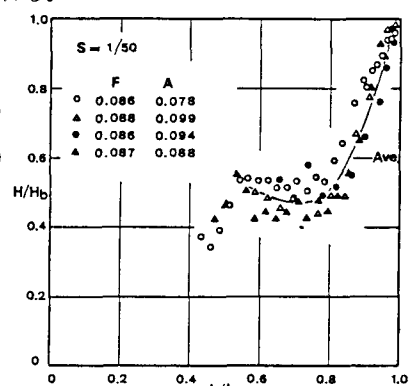


図-2 FとAによる実験結果のまとめ

4 実験結果及び計算値との比較

4-1 実験結果

本実験において、水底勾配を $1/50$ と一定にしているので式(2)のKは $\gamma \cdot (hb/L_0)^{1/2}$ のみによって決定される。そこで $F = (hb/h_b) \cdot (hb/g \cdot T^2)^{1/2}$ なるパラメーターとAにより実験結果をまとめ、平均的な変化曲線を求めたものである。FとAの値が等しい場合には、波高変化はほぼ同一の傾向を示すことがわかる。また、水底勾配 $S = 1/50$ の場合、碎波後ある距離を進むと再生波が形成され、それが進行し二次碎波を起こし再び減衰するという傾向がみられる。この現象は緩斜面に特有なものである。

次にパラメーターFとAの効果について検討する。図-3はAの値を一定にし、Fによる平均曲線の変化を示したものである。Fの値が大きくなるにつれて減衰は大きくなる。図-4はFの値を一定にした場合のAによる変化である。Aの値が大きくなるにつれて減衰は大きくなる。以上のことより逆流の影響を受ける碎波後の変形特性はパラメーターFとAにより特徴づけられることが実験的に明らかになった。このFとAの効果は計算値においても同様である。

4-2 計算値との比較

BattjesはBを0(1)の係数であるとし、平均的に $B = 2$ としている。しかし、本実験結果からは常に定数であるようなBを求めることが出来なかった。そこで各FとAごとの実験曲線に最もよく近似するようにKを与えてみる。その一例を図-5に示す。このFとKの関係を求めたものが表-2である。このようにKの値はAには依存せずFの関数になっていることがわかる。実験値と計算値を詳細に比べると、計算値は初期減衰において Battjes が指摘しているのと同様に幾分過大に出ている。また、再生波が形成された後は適用できないなど問題があるが、 $1/50$ のような緩斜面では比較的よい近似を与える。

5 おわりに

以上のことをまとめると

- 逆流を伴う波浪の碎波の変形特性は $hb/h_b \cdot (hb/g \cdot T^2)^{1/2}$, $q/hb/\sqrt{g \cdot hb}$ により傾向が特徴づけられる。
- 本モデルにおいて実験値をよく近似するようなKとFとの関係は表-2のように求められた。

<参考文献>

- Battjes,J.A: "Energy dissipation in breaking solitary and periodic waves", Manus. Delft Univ. of Tech., 1978

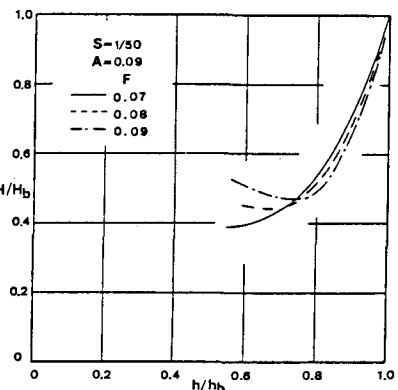


図-3 Fによる分類

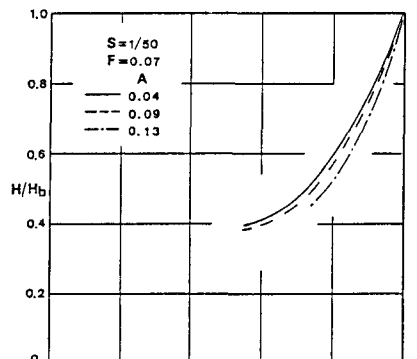


図-4 Aによる分類

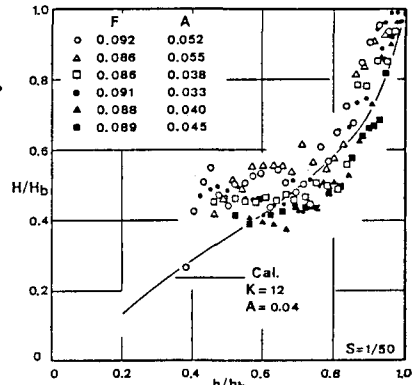


図-5 実験結果と計算値の比較

F	K
0.06	10.0
0.07	11.0
0.08	11.5
0.09	12.0

表-2 FとKの関係